

**РАСПРОСТРАНЕНИЕ АКУСТОЭЛЕКТРИЧЕСКИХ ВОЛН  
В ПЬЕЗОКЕРАМИЧЕСКОМ ПОЛОМ ЦИЛИНДРЕ И СЛОЕ**

Исследование акустоэлектрических волн Лэмба в анизотропном плоском слое принципиальных затруднений не вызывает (задача разрешима в экспоненциальных функциях), хотя анализ дисперсионных соотношений достаточно трудоемок и вряд ли осуществим без привлечения ЭВМ [1, 3, 4, 6, 7, 11]. В то же время при изучении гармонических колебаний и волн в полом цилиндрическом волноводе из пьезоэлектрических материалов ограничиваются частными случаями симметрии физических свойств [1, 10, 11] либо одномерными задачами [2, 5], допускающими решение через цилиндрические функции.

В настоящей статье рассматриваются осесимметричные акустоэлектрические волны в поляризованном по толщине полом пьезокерамическом цилиндре и как случай — плоском слое. Амплитуды бегущих волн представляются степенными рядами по толщинной координате [9], коэффициенты которых определяются из рекуррентных соотношений.

Рассмотрим полый пьезокерамический цилиндр с внешним  $R + h$  и внутренним  $R - h$  радиусами ( $2h$  — толщина). Осесимметричные уравнения движения и электростатики в цилиндрической системе координат  $r, \varphi, z$  [6, 9] имеют вид

$$\begin{aligned} \frac{\partial \sigma_{rr}}{\partial r} + \frac{1}{r} (\sigma_{rr} - \sigma_{\varphi\varphi}) + \frac{\partial \sigma_{rz}}{\partial z} &= \rho \frac{\partial^2 u_r}{\partial t^2}, \\ \frac{\partial \sigma_{rz}}{\partial r} + \frac{1}{r} \sigma_{rz} + \frac{\partial \sigma_z}{\partial z} &= \rho \frac{\partial^2 u_z}{\partial t^2}, \\ \frac{\partial D_r}{\partial r} + \frac{\partial D_z}{\partial z} &= 0, \quad E_r = -\frac{\partial \psi}{\partial r}, \quad E_z = -\frac{\partial \psi}{\partial z}, \\ e_{rr} &= \frac{\partial u_r}{\partial r}, \quad e_{zz} = \frac{\partial u_z}{\partial z}, \quad 2e_{rz} = \frac{\partial u_z}{\partial r} + \frac{\partial u_r}{\partial z}, \end{aligned} \quad (1)$$

где  $u_r, u_z$  — механические смещения;  $\sigma_{rr}, \sigma_{\varphi\varphi}, \sigma_{zz}, \sigma_{rz}$  и  $e_{rr}, e_{\varphi\varphi}, e_{zz}, e_{rz}$  — напряжения и деформации;  $\psi$  — электростатический потенциал;  $D_r, D_z$  и  $E_r, E_z$  — компоненты векторов электрической индукции и напряженности соответственно. Определяющие соотношения радиально поляризованной пьезо керамики (класс *btm*) замыкают систему (1):

$$\begin{aligned} \sigma_{rr} &= \lambda_{33} e_{rr} + \lambda_{13} (e_{\varphi\varphi} + e_{zz}) - \pi_{33} E_r, \\ \sigma_{\varphi\varphi} &= \lambda_{13} e_{rr} + \lambda_{11} e_{\varphi\varphi} + \lambda_{12} e_{zz} - \pi_{13} E_r, \\ \sigma_{zz} &= \lambda_{13} e_{rr} + \lambda_{12} e_{\varphi\varphi} + \lambda_{11} e_{zz} - \pi_{13} E_r, \\ D_r &= \pi_{33} e_{rr} + \pi_{13} (e_{\varphi\varphi} + e_{zz}) + \epsilon_{33} \epsilon_0 E_r, \\ D_z &= 2\pi_{13} e_{rz} + \epsilon_{11} \epsilon_0 E_z. \end{aligned} \quad (2)$$

Здесь использованы обозначения:  $\lambda_{ij}^e$  — упругие модули;  $\pi_{ij}^e$  — пьезомодули;  $\epsilon_{ij}^e \epsilon_0$  — абсолютные значения диэлектрических проницаемостей (верхние индексы опущены).

Боковые поверхности  $r = R \pm h$  свободны от каких-либо механических воздействий и покрыты бесконечно тонкими электродами, которые закорочены. Граничные условия в этом случае запишутся в виде

$$\sigma_{rr}(R \pm h, z, t) = 0, \quad \sigma_{rz}(R \pm h, z, t) = 0, \quad \varphi(R \pm h, z, t) = 0. \quad (3)$$

Пусть вдоль цилиндра распространяется осесимметричная волна

$$\{\psi, u_r, u_z\} = \sum_{n=0}^{\infty} \operatorname{Re} \left\{ \sqrt{\frac{\lambda}{\epsilon_0}} B_n^{(0)}, B_n^{(1)}, B_n^{(3)} \right\} x^n h \exp i(kz - \omega t) \quad (4)$$

с круговой частотой  $\omega$  и волновым числом  $k$ .

Подставляя решение (4) в уравнения (1), (2) и приравнявая к нулю коэффициенты при одинаковых степенях  $x$ , получаем рекуррентные соотношения, позволяющие выразить неизвестные  $B_2^{(m)}$ ,  $B_3^{(m)}$ , ... через шесть первых:

$$\begin{aligned}
 & (n+2)(n+1)a_1B_{n+2}^{(1)} + (n+2)(n+1)a_6B_{n+2}^{(0)} = \\
 & = -(2n+1)(n+1)\varepsilon a_1B_{n+1}^{(1)} - (n^2\varepsilon^2a_1 - \zeta^2a_2 - \varepsilon^2a_3 + \Omega^2)B_n^{(1)} - \\
 & - (\Omega^2 - \zeta^2a_2)\varepsilon(2B_{n-1}^{(1)} + \varepsilon B_{n-2}^{(1)}) + (n+1)\zeta a_4B_{n+1}^{(3)} + \\
 & + \varepsilon\zeta[2na_4 + a_5]B_n^{(3)} - (n+1)\varepsilon(2na_6 + a_7)B_{n+1}^{(0)} - \\
 & - \{n\varepsilon^2[(n-1)a_6 + a_7] - \zeta^2a_8\}B_n^{(0)} + \varepsilon^2\zeta a_8(2B_{n-1}^{(0)} + \varepsilon B_{n-2}^{(0)}), \quad (5) \\
 & (n+2)(n+1)b_1B_{n+2}^{(3)} = -(2n+1)(n+1)\varepsilon b_1B_{n+1}^{(3)} - (n^2\varepsilon^2b_1 - \zeta^2b_2 + \Omega^2)B_n^{(3)} - \\
 & - (\Omega^2 - \zeta^2b_2)\varepsilon(2B_{n-1}^{(3)} + \varepsilon B_{n-2}^{(3)}) - (n+1)\zeta b_3B_{n+1}^{(1)} - \varepsilon\zeta[2nb_3 + b_4]B_n^{(1)} - \\
 & - \varepsilon^2\zeta[(n-1)b_3 + b_4]B_{n-1}^{(1)} - (n+1)\zeta b_5B_{n+1}^{(0)} - \varepsilon\zeta[2nb_5 + b_6]B_n^{(0)} - \\
 & - \varepsilon^2\zeta[(n-1)b_5 + b_6]B_{n-1}^{(0)}, \\
 & -(n+2)(n+1)c_1B_{n+2}^{(0)} + (n+2)(n+1)c_5B_{n+2}^{(1)} = (2n+1)(n+1)\varepsilon c_1B_{n+1}^{(0)} + \\
 & + (n^2\varepsilon^2c_1 - \zeta^2c_2)B_n^{(0)} - \varepsilon\zeta^2c_2(2B_{n-1}^{(0)} + \varepsilon B_{n-2}^{(0)}) + (n+1)\zeta c_3B_{n+1}^{(3)} + \\
 & + \varepsilon\zeta[2nc_3 + c_4]B_n^{(3)} + \varepsilon^2\zeta[(n-1)c_3 + c_4]B_{n-1}^{(3)} - (n+1)\varepsilon(2nc_3 + c_6)B_{n+1}^{(1)} - \\
 & - \{n\varepsilon^2[(n-1)c_5 + c_6] - \zeta^2c_7\}B_n^{(1)} + \varepsilon\zeta^2c_7(2B_{n-1}^{(1)} + \varepsilon B_{n-2}^{(1)}).
 \end{aligned}$$

Здесь введены обозначения:

$$x = \frac{r-R}{h}; \quad \varepsilon = \frac{h}{R}; \quad \zeta = kh; \quad \Omega = \frac{\omega h}{\sqrt{\frac{\lambda}{\rho}}}; \quad \mu_{ij} = \frac{\lambda_{ij}}{\lambda};$$

$$\kappa_{ij} = \frac{\pi_{ij}}{\sqrt{\varepsilon_0\lambda}}; \quad \tilde{R}_i(r) = R_i(x);$$

$$a_1 = \mu_{33}; \quad a_2 = \mu_{55}; \quad a_3 = \mu_{11}; \quad a_4 = \mu_{13} + \mu_{55}; \quad a_5 = \mu_{13} - \mu_{12};$$

$$a_6 = \kappa_{33}; \quad a_7 = \kappa_{33} - \kappa_{13}; \quad a_8 = \kappa_{15}; \quad b_1 = \mu_{55}; \quad b_2 = \mu_{11};$$

$$b_3 = \mu_{13} + \mu_{35}; \quad b_4 = \mu_{12} + \mu_{55}; \quad b_5 = \kappa_{13} + \kappa_{15}; \quad b_6 = \kappa_{15}; \quad c_1 = -\varepsilon_{33};$$

$$c_2 = -\varepsilon_{11}; \quad c_3 = \kappa_{13} + \kappa_{15}; \quad c_4 = \kappa_{13}; \quad c_5 = \kappa_{33}; \quad c_6 = \kappa_{13} + \kappa_{55}; \quad c_7 = \kappa_{13},$$

где  $\lambda$  — параметр, имеющий размерность упругих постоянных;  $\varepsilon_0$  — абсолютная диэлектрическая проницаемость вакуума.

Оставшийся произвол в выборе постоянных решения (4) позволяет удовлетворить граничным условиям (3):

$$\begin{aligned}
 & \sum_{n=0}^{\infty} \{(2n+1)\mu_{33}B_{2n+1}^{(1)} + (2n\mu_{33} + \mu_{11})\varepsilon B_{2n}^{(1)} - \zeta\mu_{13}(B_{2n}^{(3)} + \varepsilon B_{2n-1}^{(3)}) + \\
 & + \kappa_{33}[(2n+1)B_{2n+1}^{(0)} + 2n\varepsilon B_{2n}^{(0)}]\} = 0, \\
 & \sum_{n=0}^{\infty} \{2(n+1)\mu_{33}B_{2n+2}^{(1)} + (2n\mu_{33} + \mu_{11} + \mu_{33})\varepsilon B_{2n+1}^{(1)} - \\
 & - \zeta\mu_{13}(B_{2n+1}^{(3)} + \varepsilon B_{2n}^{(3)}) + \kappa_{33}[(2n+2)B_{2n+2}^{(0)} + (2n+1)\varepsilon B_{2n+1}^{(0)}]\} = 0, \\
 & \sum_{n=0}^{\infty} \mu_{55}[\zeta B_{2n}^{(1)} + (2n+1)B_{2n+1}^{(3)}] + \kappa_{15}\zeta B_{2n}^{(0)}, \\
 & \sum_{n=0}^{\infty} \mu_{55}[\zeta B_{2n+1}^{(1)} + (2n+2)B_{2n+2}^{(3)}] + \kappa_{15}\zeta B_{2n+1}^{(0)}, \\
 & \sum_{n=0}^{\infty} B_{2n}^{(0)} = 0, \quad \sum_{n=0}^{\infty} B_{2n+1}^{(0)} = 0.
 \end{aligned} \quad (6)$$

Используя рекуррентные зависимости (5), уравнения (6) можно свести к системе шести однородных алгебраических уравнений

$$\sum_{q=1}^6 m_{pq}(\mu_{ij}, \kappa_{ij}, \varepsilon_{ij}, \varepsilon, \zeta, \Omega) X_q = 0 \quad (p = \overline{1, 6}), \quad (7)$$

где  $(X_1, X_2, X_3, X_4, X_5, X_6) = (B_0^{(0)}, B_0^{(1)}, B_0^{(3)}, B_1^{(0)}, B_1^{(1)}, B_1^{(3)})$ . Из условия существования нетривиального решения системы (7) получаем дисперсионное соотношение

$$\det \{m_{pq}(\mu_{ij}, \kappa_{ij}, \varepsilon_{ij}, \varepsilon, \zeta, \Omega)\} = 0, \quad (8)$$

из которого определяется зависимость волнового числа  $\zeta$  от частоты  $\Omega$ .

Полагая в соотношении (8)  $\varepsilon = 0$ , получаем дисперсионное соотношение акустоэлектрических волн Лэмба в плоском слое. В этом случае определитель системы (8) распадается на два независимых множителя, соответствующих симметричным и антисимметричным (относительно срединной поверхности) волнам. Так, полагая в выражениях (5), (6)  $B_0^{(0)} = B_0^{(1)} = B_1^{(3)} = 0$ , получаем симметричные моды акустических волн. Если положить  $B_1^{(0)} = B_1^{(1)} = B_0^{(3)} = 0$ , то получим антисимметричные моды. Частоты запираания таких волн ( $k = 0$ ) [9] определяются аналитически из двух независимых систем уравнений

$$\begin{aligned} \mu_{55} \frac{\partial^2 u_r}{\partial r^2} + \Omega^2 u_r + \kappa_{33} \frac{\partial^2 \psi}{\partial r^2} &= 0, \\ -\varepsilon_{33} \frac{\partial^2 \psi}{\partial r^2} + \kappa_{33} \frac{\partial^2 u_r}{\partial r^2} &= 0 \end{aligned} \quad (9)$$

с граничными условиями

$$\left( \mu_{33} \frac{\partial u_r}{\partial r} + \kappa_{33} \frac{\partial \psi}{\partial r} \right)_{x=\pm 1} = 0, \quad \psi|_{x=\pm 1} = 0 \quad (10)$$

и

$$\mu_{55} \frac{\partial^2 u_z}{\partial r^2} + \Omega^2 u_z = 0 \quad (11)$$

с граничным условием

$$\mu_{55} \frac{\partial u_z}{\partial r} \Big|_{x=\pm 1} = 0. \quad (12)$$

Волны, которые рождаются как чисто упругие продольные, будем обозначать  $W(n)$ , где  $n$  — порядковый номер дисперсионной ветви (критические частоты находятся из спектральной задачи (11), (12)), а которые рождаются как акустоэлектрические сдвиговые —  $U(n)$  (критические частоты находятся из спектральной задачи (9), (10)). Кроме того, если волна является симметричной или антисимметричной, будем добавлять букву  $S$  или  $A$  соответственно. Значения соответствующих частот запираания определяются формулой

$$SU\left(\frac{n+1}{2}\right) = \frac{\pi}{2} n \sqrt{\mu_{33} + K_{33}^2} \quad (n = 1, 3, 5, \dots).$$

Здесь  $K_{33}^2 = \frac{\kappa_{33}^2}{\varepsilon_{33}}$ ;  $AU\left(\frac{n}{2}\right) = \gamma_1, \gamma_2, \dots$  ( $n = 0, 2, 4, \dots$ ), где  $\gamma_1, \gamma_2, \dots$  — корни уравнения  $\gamma \cos \gamma - K_{33}^2 \sin \gamma = 0$ ; для больших значений  $n$  справедливы приближенные выражения

$$AU\left(\frac{n}{2}\right) \simeq \frac{\pi}{2} n \sqrt{\mu_{33} + K_{33}^2} \quad (n = 0, 2, 4, \dots),$$

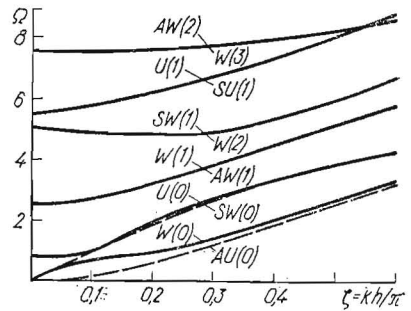
$$SW\left(\frac{n}{2}\right) = \frac{\pi}{2} n \sqrt{\mu_{55}} \quad (n = 0, 2, 4, \dots),$$

$$AW\left(\frac{n+1}{2}\right) = \frac{\pi}{2} \sqrt{\mu_{55}} \quad (n = 1, 3, 5, \dots).$$

Анализ дисперсионных соотношений проводится численно. В качестве материала рассматривалась пьезокерамика PZT-4 со следующими параметрами:  $\lambda_{11} = 13,9 \cdot 10^{10}$  Н/м<sup>2</sup>;  $\lambda_{12} = 7,78 \cdot 10^{10}$  Н/м<sup>2</sup>;  $\lambda_{13} = 7,43 \cdot 10^{10}$  Н/м<sup>2</sup>;  $\lambda_{33} = 11,5 \cdot 10^{10}$  Н/м<sup>2</sup>;  $\lambda_{55} = 2,56 \cdot 10^{10}$  Н/м<sup>2</sup>;  $\pi_{13} = -5,2$  к/м<sup>2</sup>;  $\pi_{15} = 12,7$  к/м<sup>2</sup>;  $\pi_{33} = 15,1$  к/м<sup>2</sup>;  $\epsilon_{11} = 730$ ;  $\epsilon_{33} = 635$ ; значения нормирующего множителя  $\lambda = 10^{10}$  Н/м<sup>2</sup>.

Для плоского слоя из пьезокерамики ЦТС-19 получено хорошее совпадение с результатами работ [7, 8] (в пределах действительной оси волновых чисел).

На рисунке приведены графики шести первых значений  $\zeta = \frac{kh}{\pi}$ . Штриховыми линиями обозначены дисперсионные зависимости для плоского слоя ( $\epsilon = 0$ ), сплошными — для цилиндра ( $\epsilon = 0,25$ ). Из рисунка следует, что первая дисперсионная ветвь для полого цилиндра при малых  $\zeta$  совпадает с симметричной модой волн, которые рождаются как несвязанные продольные, с ростом же  $\zeta$  она выходит на антисимметричную моду волн, которые рождаются как акустоэлектрические сдвиговые. Вторая ветвь дисперсионных зависимостей для полого цилиндра с увеличением  $\zeta$  выходит на симметричную



моду волн, которые рождаются как чисто упругие продольные. Таким образом, область малых  $\zeta$  для первых двух дисперсионных ветвей является областью наиболее сильного взаимодействия продольных и сдвиговых волн. С увеличением частоты дисперсионные зависимости для плоского слоя и полого цилиндра мало различаются. Так, уже третья ветвь дисперсионных зависимостей для полого цилиндра практически совпадает с соответствующей ветвью для плоского слоя.

1. Ивина Н. Ф., Касаткин Б. А. Нормальные волны в анизотропном пьезоактивном волноводе.— Дефектоскопия, 1975, № 4, с. 27—32.
2. Коломиец Г. А., Улитко А. Ф. Связанные электроупругие колебания пьезокерамических цилиндров.— Тепловые напряжения в элементах конструкций, 1970, вып. 9, с. 5—12.
3. Коцаренко Н. Я. и др. Электронное усиление волн Лэмба в пьезополупроводниках.— Укр. физ. журн., 1971, 16, № 10, с. 1708—1717.
4. Кудрявцев Б. А. Механика пьезоэлектрических материалов.— Итоги науки и техники.— Механика деформируемого твердого тела, 1978, 11, с. 5—66.
5. Лазуткин В. Н., Михайлов А. И. Колебания пьезокерамических цилиндров конечных размеров с поляризацией по высоте.— Акуст. журн., 1976, 22, вып. 3, с. 393—399.
6. Мадорский В. В., Устинов Ю. А. Симметричные колебания пьезоэлектрических пластин.— Изв. АН АрмССР. Механика, 1976, 29, № 5, с. 51—58.
7. Мадорский В. В., Устинов Ю. А. Построение системы однородных решений и анализ корней дисперсионного уравнения антисимметричных колебаний пьезоэлектрических плит.— Журн. прикл. механики и техн. физики, 1976, № 6, с. 138—145.
8. Физическая акустика / Под ред. У. Мэсона.— М.: Мир, 1966.— Т. 1. Ч. А. 592 с.
9. Шульга Н. А. Распространение осесимметричных упругих волн в ортотропном полем цилиндре.— Прикл. механика, 1974, 10, № 1, с. 14—18.
10. Paul H. S. Torsional vibrations a circular cylinder of piezoelectric  $\beta$ -quartz.— Arch. mech. stosow., 1962, 14, N 1, p. 127—134.
11. Paul H. S. Vibrations of circular cylindrical shells of piezoelectric silver jodide crystals.— J. Acoust. Soc. Amer., 1960, 40, N 5, p. 1077—1080.

Ин-т механики АН УССР, Киев

Получено 23.05.83